

第Ⅰ部門

ケーブル定着部の付着すべり特性に関する基礎的研究

京都大学大学院 学生員○鹿島 孝之 京都大学工学部 正員 渡邊 英一
(株)神戸製鋼所 正員 橋田 芳郎 京都大学工学部 正員 古田 均
京都大学工学部 正員 杉浦 邦征 京都大学工学部 正員 宇都宮智昭

1. 研究目的

本研究はケーブル定着部でのケーブル抜け出し挙動の解明を目的とする。最も基本的なソケット形式として亜鉛・銅合金鋳込み定着を取り上げ、引き抜き載荷実験により鋼素線および鋳込み合金間の付着特性を明らかにする。また付着特性に対し簡易力学モデルを適用し、設計に必要な付着強度を算出する。

2. 載荷実験

本載荷実験においては図1に示すような付着長の異なる短い鋼素線を回りから亜鉛・銅合金で円筒状に鋳込んで定着した供試体を5体製作した。なお、素線部分は明石海峡大橋で実際に用いられるケーブルのワイヤφ5.23(メッキ厚含む)の鋼線を、鋳込み金属には亜鉛98%・銅2%の合金を用いた。これらの供試体に対して、図2に示すような実験装置を用いて変位制御の単調引張載荷実験を行った。

3. 実験結果と考察

載荷実験により得られた引き抜き力-抜け出し変位曲線の一例を図3に示す。各供試体に共通して、引き抜き耐力点に達するまで荷重-変位関係はほぼ線形の関係にある。その勾配は2段階に変化しているが、載荷初期の段階では鋳込み金属と素線、測定治具の間で接触面の均一化が進み、ある程度の変形を生じた後本来の引き抜き力と抜け出し変位関係が得られると思われる。この2段目の勾配は付着長に関係なく各供試体とも引き抜き耐力点までほぼ一定で、引き抜き力と抜け出し変位間の付着せん断剛性と考えられる。破壊が生じた後、耐力は著しく低下するが残存付着は存在しており、付着長の短いS-30で最大耐力の40%程度、付着長の長いS-90で80%程度の残存付着が確認された。その後抜け出しが進行しても引き抜き耐力はほぼ一定となっている。また、図4に抜け出し変位-引き込み変位曲線の一例を示す。最大耐力点以後、それぞれの変位増分はほぼ等しくなっている。最後に、引き抜き耐力と付着長の関係を文献1)の結果も併せて図5に示す。付着長の異なる供試体の引き抜き耐力は、多少の減少がみられるものの、付着長に依存せずほぼ一定と考えることができる。このバラツキは、鋼素線の鋳込み状態が付着全長にわたって一様でないことによると思われる。

供試体名	付着長L	素線径
S-30	30	5.23
S-40	40	5.23
S-50	50	5.23
S-70	70	5.23
S-90	90	5.23

単位 (mm)

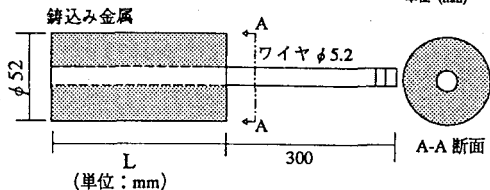


図1 供試体の形状

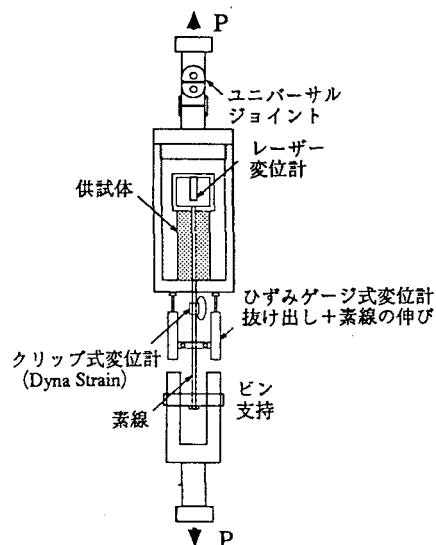


図2 実験載荷装置の概要

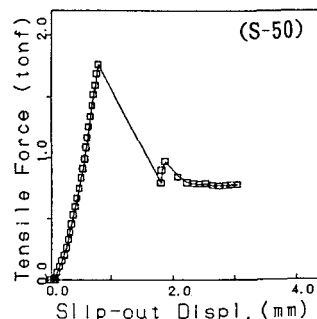


図3 引き抜き力-抜け出し変位の関係

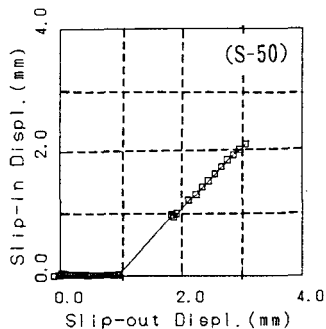


図4 引き込み変位ー抜け出し変位の関係

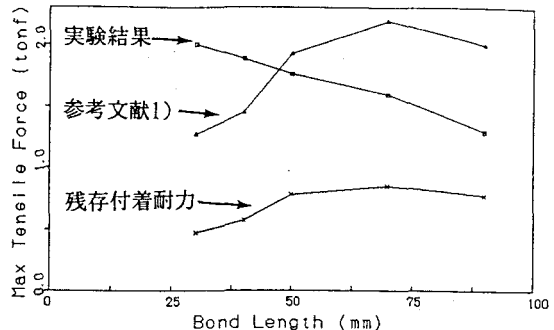


図5 引き抜き耐力ー付着長の関係

4. 付着モデルのパラメータ同定

付着特性に対し2, 3の簡易力学モデルを適用し数値シミュレーションを行った結果、素線と鉄込み金属間のせん断応力 τ と素線変位 u の関係を図6のように仮定した弾性破壊モデルによる抜け出し挙動が実験結果と非常に類似していることがわかった。ここでは弾性破壊モデルの2つのパラメータ、付着せん断剛性 G^* および降伏付着せん断応力 τ_y を実験結果に基づき、算定することを試みる。弾性破壊モデルに基づく引き抜き力ー抜け出し変位関係を特徴づけるものは、初期剛性 k_0 および最大引き抜き耐力 P_{max} である。それぞれ次式で表される。

$$k_0 = k_0(G^*) = \alpha \cdot A \cdot E \frac{e^{\alpha L} - e^{-\alpha L}}{e^{\alpha L} + e^{-\alpha L}} \quad P_{max} = P(G^*, \tau_y) = \alpha \cdot A \cdot E \frac{\tau_y}{G^*}$$

$$G.E: AE \frac{d^2u}{dx^2} = \pi D \tau$$

$$B.C.: \left. \frac{du}{dx} \right|_{x=0} = 0 \quad \&$$

$$AE \left. \frac{du}{dx} \right|_{x=L} = P$$

図6 弾性破壊モデル

$$\begin{array}{c} \text{付着せん断応力} \\ \tau \\ \uparrow \\ \text{ここで } \tau = G^* u \\ \tau_y \text{ は } u = u_y \text{ のときの応力} \\ \downarrow \\ \text{初期剛性 } k_0 = \frac{\pi D}{A E} G^* \\ \text{最大引き抜き耐力 } P_{max} = \frac{\pi D}{A E} G^* \end{array}$$

ここで、 A , E , L および D はそれぞれ素線の断面積、素線の弾性係数、付着長および素線の直径である。付着長の異なる5体の供試体の実験結果を参考として、 $k_0 = 2500(\text{kgf/mm}^2)$ 、また引き抜き耐力に関しては付着長が大きくなるに従って微減しているが、 $P_{max} = 1600(\text{kgf})$ として考慮する。これらの値を用いて G^* 、および τ_y を推定すると以下のような値が得られた。

$$G^* = 3.369 \text{ (kgf/mm}^3\text{)} \quad \tau_y = 1.088 \text{ (kgf/mm}^2\text{)} \quad \text{note: } 1(\text{kgf/mm}^2) = 10\text{M(Pa)}$$

この弾性破壊モデルに基づくと $L \geq 2(\text{mm})$ で最大引き抜き耐力は $P_{max} = 1.6(\text{tonf})$ が得られる。しかし付着長を大きくしても耐力は向上しないため、鋼素線一本の破壊強度 $3.9(\text{tonf})$ 、 $\sigma_u = 180\text{kgf/mm}^2$ に対し設計張力は0.41程度とする必要がある。

5. 結論および今後の課題

- 付着長の異なる供試体の引き抜き耐力は多少の減少はみられるが、付着長に依存せずほぼ一定となった。
- 載荷実験から得られた各供試体の引き抜き力と抜け出し変位の関係から素線と鉄込み金属間の付着せん断剛性、降伏付着せん断応力を決定することができた。
- このような脆性的な破壊挙動では、境界面における垂直応力がせん断耐力を左右する（摩擦の垂直応力依存性）。したがって、今後垂直応力をパラメータとして引き抜き耐力がどのように変化するか検討する必要がある。

参考文献

- (株)神戸製鋼所・神鋼鋼線工業(株)：亜鉛鉄込みソケット部のワイヤー抜け出し載荷実験報告書、1990